

УДК 532.59; 551.446

## ОПРЕДЕЛЕНИЕ ФОНОВЫХ ПАРАМЕТРОВ СЛОИСТОЙ СЛАБОДИСПЕРГИРУЮЩЕЙ МЕЛКОЙ ВОДЫ

В. В. Новотрясов

Тихоокеанский океанологический институт им. В. И. Ильичева ДВО РАН,  
690041 Владивосток, Россия  
E-mail: vadimnov@poi.dvo.ru

В рамках теории волновых боров малой интенсивности в слабодиспергирующих средах сформулирована методика определения фоновых параметров таких сред. С использованием аналитической модели волнового (кноидального) бора на пикноклине слоистого мелкого моря получены выражения для расчета коэффициентов расширенного уравнения Кортевега — де Фриза: скорости линейных внутренних волн, высокочастотной дисперсии, квадратичной и кубической нелинейностей, т. е. параметров, характеризующих гидрофизический фон, по которому распространяются боры. Расчет этих параметров выполнен на основе данных прямых измерений характеристик боров: их волнограмм, нелинейной скорости, “массы” и амплитуды лидирующих солитонов, а также частот волн, замыкающих область, по которой распространяется бор. Эффективность предложенной методики подтверждена результатами численного моделирования.

**Ключевые слова:** слоистая мелкая вода, расширенное уравнение Кортевега — де Фриза, кубическая и квадратичная нелинейности, высокочастотная дисперсия, уединенные внутренние волны, внутренний волновой бор, полевые исследования.

DOI: 10.15372/PMTF20210110

**Введение.** Гидродинамическая модель слоистой (стратифицированной по плотности) мелкой воды со слабой дисперсией часто используется при численном моделировании нелинейных внутренних волн (НВВ). Наличие пакетов подобных волн является характерной особенностью мезомасштабных гидродинамических процессов в шельфовых зонах океана [1–3]. Обладая значительными амплитудами, НВВ оказывают существенное влияние на трансформацию поля скорости звука и его распространение, взмучивание придонных осадков и формирование придонного рельефа [4, 5].

Для изучения гидродинамики НВВ в рамках модели мелкой воды широкое распространение получил подход, основанный на решении уравнения Кортевега — де Фриза. Коэффициенты этого уравнения ( $\mu$  — квадратичная нелинейность,  $\beta$  — дисперсия,  $c$  — скорость линейных волн) определяют гидрофизический фон, по которому распространяются НВВ. Длины этих волн значительно больше глубины шельфовой зоны [6, 7].

В настоящей работе приведена схема определения фоновых параметров  $\mu$ ,  $\beta$ ,  $c$ , в которой в отличие от стандартной схемы, используются данные прямых измерений характеристик пакетов слабонелинейных волн, образовавшихся в результате распада низкоча-

---

Работа выполнена в рамках госбюджетной темы Тихоокеанского океанологического института ДВО РАН “Математическое моделирование и анализ динамических процессов в океане” (№ 0271-2019-0001).

© Новотрясов В. В., 2021

стотных волн с малой, но конечной амплитудой (так называемые внутренние волновые боры (ВВБ)). Пакеты подобных волн достаточно регулярно наблюдаются над шельфом океана, в том числе над шельфом Японского моря [8–11].

Последовательная гидродинамическая интерпретация волновых боров проводится с использованием теории слабодиспергирующих ударных волн, основы которой сформулированы в работах [6, 12] и развиты в [13–15]. Эта теория используется также для интерпретации внутренних волновых боров [16].

В работе [15] сформулирована теория волновых боров для случая, когда становится значимым вклад в динамику ВВБ кубической нелинейности. В настоящей работе в рамках этой теории с использованием аналитической модели ВВБ для расширенного уравнения Кортевега — де Фриза (уравнения Гарднера) получены соотношения для расчета фоновых параметров  $\mu$ ,  $\mu_1$ ,  $\beta$ ,  $c_0$  с использованием данных натурных измерений характеристик ВВБ.

**1. Основные соотношения теории модуляции волновых боров в слабодиспергирующей среде.** ВВБ представляют собой расширяющиеся в пространстве нелинейные волновые пакеты, соединяющие два различных фоновых состояния гидродинамического потока и содержащие уединенные волны вблизи одной из его границ. Обычно ВВБ образуются при обрушении внутренней волны или распаде начального скачка скорости потока и (или) глубины залегания пикноклина на мористой границе шельфовой зоны океана [2, 8, 16].

Аналитическое описание ВВБ проводится в рамках теории модуляции Уизема [6], в которой асимптотическое решение для ВВБ ищется в виде медленно меняющегося периодического решения основного уравнения движения с учетом дисперсии, например уравнения Кортевега — де Фриза. Медленное изменение параметров модуляции (таких как среднее значение смещения пикноклина, амплитуда, волновое число и т. д.) определяется системой осредненных уравнений (уравнений Уизема). Для аналитического решения системы уравнений Уизема необходимо представить ее в форме инвариантов Римана. Модуляционное описание ВВБ при решении уравнения Кортевега — де Фриза впервые в такой форме приведено в работе [6].

В шельфовой зоне океана нередко реализуется ситуация, когда влияние нелинейности, имеющей более высокий порядок, чем квадратичная нелинейность, становится определяющим. В этом случае для описания НВВ используется уравнение Гарднера в канонической форме [2, 4, 17]

$$\eta_t + 6\eta\eta_x - 6\alpha\eta^2\eta_x + \eta_{xxx} = 0, \quad (1)$$

где коэффициент  $\alpha$  зависит от стратификации воды в шельфовой зоне и может быть как положительным, так и отрицательным [12]. Далее рассматривается только положительное значение этого коэффициента.

Общая теория модуляции волновых боров для уравнения Гарднера представлена в работе [15], в которой с использованием сокращенной версии метода конечно-зонного интегрирования получена модуляционная система Гарднера — Уизема и показано, что ее можно преобразовать в известную модуляционную систему Кортевега — де Фриза. Для уравнения (1) в рамках рассматриваемой задачи, следуя [15], ограничимся кратким изложением теории модуляции стандартных волновых боров Кортевега — де Фриза.

Рассмотрим систему уравнений модуляции для уравнения (1) в форме инвариантов Римана и асимптотически точное ( $t \gg 1$ ) решение этого уравнения с начальными условиями в виде ступеньки:

$$\eta(x, 0) = \begin{cases} \eta^+, & x < 0, \\ \eta^-, & x > 0. \end{cases} \quad (2)$$

Вид нелинейного члена в уравнении (1) определяет структуру решений задачи Коши (1), (2), зависящую от положения начальных параметров ступеньки  $\eta^+$ ,  $\eta^-$  относительно точки поворота  $\eta_* = 1/(2\alpha)$ , которая является бездисперсионной характеристикой смещения  $-6\eta(1 - \alpha\eta)$ . В дальнейшем рассматривается следующий диапазон значений параметров ступеньки:

$$\eta^+ \leq \eta^- \leq 1/(2\alpha). \quad (3)$$

Оба значения  $\eta^-$  и  $\eta^+$  принадлежат области, где функция  $w(\eta) = \eta(1 - \alpha\eta)$  монотонно возрастает, поэтому существует взаимно однозначное соответствие предела уравнения Гарднера в отсутствие дисперсии и предела уравнений Кортевега — де Фриза. Это означает, что начальный разрыв в области (3) может быть описан единственным стандартным “мелководным” волновым бором Кортевега — де Фриза с солитоном возвышения на его передней границе и линейным волновым пакетом на задней границе.

Общее выражение для решения уравнения (1) в виде периодической бегущей волны приведено в [17]. Представленное через эллиптические функции Якоби это решение имеет вид

$$\eta = \eta_2 + \frac{(\eta_3 - \eta_2) \operatorname{cn}^2(\theta, m)}{1 - ((\eta_3 - \eta_2)/(\eta_4 - \eta_2)) \operatorname{sn}^2(\theta, m)}, \quad (4)$$

где

$$\theta = \sqrt{\alpha(\eta_3 - \eta_1)(\eta_4 - \eta_2)} (x - Vt)/2, \quad m = (\eta_3 - \eta_2)(\eta_4 - \eta_2)^{-1}(\eta_4 - \eta_1)(\eta_3 - \eta_1)^{-1}.$$

Длина волны в периодическом решении (4) задается формулой

$$L = 4K(m)/\sqrt{\alpha(\eta_3 - \eta_1)(\eta_4 - \eta_2)},$$

где  $K(m)$  — полный эллиптический интеграл первого рода.

Солитонный предел  $m \rightarrow 1$  достигается в двух случаях:  $\eta_1 \rightarrow \eta_2$  или  $\eta_3 \rightarrow \eta_4$ . Рассмотрим случай  $\eta_2 \rightarrow \eta_1$ , т. е. солитон возвышения, направление скорости которого противоположно направлению скорости постоянного фона, задаваемого соотношением  $\eta = \eta_2$ :

$$\eta(\xi) = \eta_1 + \frac{\eta_3 - \eta_1}{\operatorname{ch}^2(\theta) - ((\eta_3 - \eta_1)/(\eta_4 - \eta_1)) \operatorname{sh}^2(\theta)}.$$

Гармонический предел  $m \rightarrow 0$  достигается при  $\eta_3 \rightarrow \eta_2$ . В этом случае кноидальная волна (4) асимптотически трансформируется в линейную гармоническую волну

$$\eta \simeq \eta_2 + (1/2)(\eta_3 - \eta_2) \cos(k_0(x - Vt)), \quad k_0 = \sqrt{\alpha(u_2 - u_1)(u_4 - u_2)}. \quad (5)$$

Локальная структура волнового бора Кортевега — де Фриза определяется периодическим решением (4). Соответствующие модуляции выражаются через инварианты Римана  $r_1, r_2, r_3$  и удовлетворяют системе уравнений Уизема. Классическое автомодельное решение модуляционной системы Уизема для этого случая имеет вид [12, 18]

$$r_1 = r^+, \quad r_3 = r^-, \quad (6)$$

где  $r^+, r^-$  — некоторые константы; зависимость  $r_2(x, t)$  задается неявно выражением

$$f_2(r^+, r_2, r^-) = x/t. \quad (7)$$

Волновой бор, представляющий собой модуляционное решение (6), (7), охватывает расширяющуюся область  $x^- < x < x^+$ , границы которой  $x^\pm = v^\pm t$  распространяются с постоянными скоростями  $v^\pm$ . Задняя (гармоническая) граница определяется условием  $m = 0$  ( $r_2 = r_1 = r^+$ ), передняя (солитонная) граница — условием  $m = 1$  ( $r_2 = r_3 = r^-$ ). При этом скорости  $v^\pm$  соответствующих границ определяются следующим образом:

$$v^- = f_2|_{r_2=r_1} = 12r_1 - 6r_3 = 12r^+ - 6r^-, \quad v^+ = f_2|_{r_2=r_3} = 2r_1 + 4r_3 = 2r^+ + 4r^-. \quad (8)$$

Решение (6), (7) совпадает с модуляциями, возникающими в волновом боре, порожденном начальным разрывом:  $r(x, 0) = r^+$ ,  $x > 0$  и  $r(x, 0) = r^-$ ,  $x < 0$  для уравнения Кортевега — де Фриза  $r_t + 6rr_x + r_{xxx} = 0$  [12].

Модуляционные решения (6), (7) однозначно характеризуют асимптотическое решение для волнового бора Кортевега — де Фриза вследствие взаимно однозначного соответствия инвариантов Римана  $\{r_j\}$  и физических параметров  $\{\eta_j\}$  решения в форме кноидальной волны [6].

Для малоамплитудного предела (5) из решения (8) следует, что задняя граница бора ( $m = 0$ ) распространяется на фоне  $\eta = \eta_2 = \eta_3$ . По аналогии для солитонной границы  $m \rightarrow 1$  солитон на передней границе распространяется на фоне  $\eta = \eta_1 = \eta_2$ . Таким образом, если эволюция ступеньки разрешается единственным волновым бором, необходимо, чтобы на замыкающей границе выполнялось условие

$$\eta_2 = \eta_3 = \eta^-, \quad (9)$$

а на лидирующей границе — условие

$$\eta_2 = \eta_1 = \eta^+. \quad (10)$$

Согласно [15] инварианты Римана  $\{r_k\}$  и физические параметры  $\{\eta_i\}$  связаны соотношениями

$$\eta_2|_{m=0} = \eta_3|_{m=0} = (1 - \sqrt{1 - 4\alpha r_3})/(2\alpha); \quad (11)$$

$$\eta_1|_{m=1} = \eta_2|_{m=1} = (1 - \sqrt{1 - 4\alpha r_1})/(2\alpha). \quad (12)$$

С учетом того, что  $r_3 = r^-$ ,  $r_1 = r^+$ , из соотношений (9)–(12) следует

$$r^- = (1 - \alpha\eta^-)\eta^-, \quad r^+ = \eta^+(1 - \alpha\eta^+).$$

Волновой бор занимает область  $v^-t < x < v^+t$ , граничные скорости  $v^\pm$  равны

$$v^- = 12\eta^+(1 - \alpha\eta^+) - 6\eta^-(1 - \alpha\eta^-), \quad v^+ = 2\eta^+(1 - \alpha\eta^+) + 4\eta^-(1 - \alpha\eta^-).$$

При этом скорость расширения области, по которой распространяется бор, составляет

$$V_{br} = 10(\eta^- - \eta^+)(1 + \alpha(\eta^- + \eta^+)). \quad (13)$$

Из (13) следует, что скорость расширения волнового бора Гарднера больше аналогичной скорости бора Кортевега — де Фриза  $(V_{br})_{\text{КдФ}} = 10(\eta^- - \eta^+)$  при тех же начальных условиях. Фактически этот результат для бора Кортевега — де Фриза воспроизводится при  $\alpha = 0$ . Амплитуда солитона в волновом боре Гарднера равна

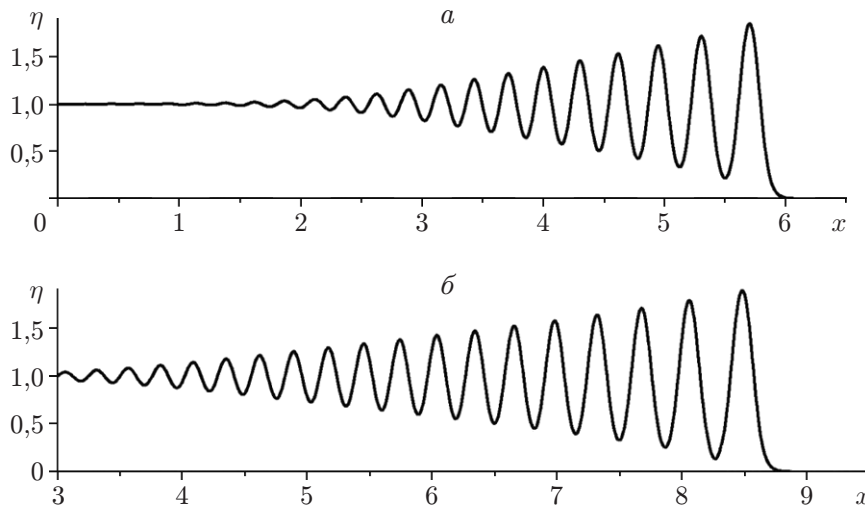
$$a^+ = (\eta_3 - \eta_1)|_{m=1} = 2(\eta^- - \eta^+). \quad (14)$$

Заметим, что формула (14) совпадает с классической формулой для амплитуды солитона, лидирующего в волновом боре Кортевега — де Фриза.

На рисунке представлены пространственные волнограммы ВВБ, рассчитанные для моментов времени  $t_1 = 5$ ,  $t_2 = 7$  с использованием теории для волнового бора Кортевега — де Фриза. (Все величины на рисунке и в табл. 1, 2 являются безразмерными.) Расчет волнограмм выполнялся в рамках модели мелкой воды при следующих значениях фоновых параметров:  $\mu = 1,00$ ,  $\mu_1 = 0,40$ ,  $\alpha = 0,40$ ,  $\beta = 6,00 \cdot 10^{-3}$ ,  $c_0 = 1,00$ .

На рисунке видно, что волнограммы волновых пакетов состоят из ранжированных по амплитуде уединенных пульсаций. При этом форма пульсаций вблизи фронта не является косинусоидальной, а форма колебаний в тылу волнового пакета косинусоидальная. В табл. 1 приведены значения характеристик лидирующей уединенной пульсации (солитона): амплитуды  $a_s$ , скорости  $V_s$  и эффективной ширины  $L_s$ , полученные путем прямых измерений и рассчитанные по формуле (14) и формулам

$$a_s = a^+, \quad L_s^2 = 12\beta/(\mu a_s)/(1 - b^2); \quad (15)$$



Волнограммы ВВБ, рассчитанные для различных моментов времени:  
 $a - t_1 = 5$ ,  $б - t_2 = 7$

Таблица 1  
 Значения характеристик лидирующего солитона

Способ получения характеристик	$a_s$	$V_s$	$L_s$
Прямое измерение	1,95	1,39	0,245
Расчет по формулам (15), (16)	2,00	1,40	0,231

$$V_s = c_0 + a_s \mu (1 - a_s / a_*) / 3, \quad V_{br} \equiv V_s - c_0 = 4\beta L_s^{-2} \quad (16)$$

( $a_* \equiv \mu / (2\mu_1)$ ) — предельная амплитуда солитонов Гарднера;  $b = 1 - a_s / a_*$ ).

Результаты анализа данных, приведенных в табл. 1, показывают, что амплитуда лидирующей пульсации  $a_s$  и удвоенная высота начального скачка пикноклина  $2\eta_0$  имеют близкие значения, как это следует из соотношения (14). Скорость  $V_s$  лидирующей пульсации и эффективный пространственный масштаб  $L_s$  незначительно отличаются от тех же характеристик, рассчитанных по теоретическим формулам (16).

Амплитуда колебаний  $a$  в тылу волнового пакета (см. рисунок) на порядок меньше  $a_s$ , а пространственный период этих колебаний равен  $\lambda \approx 0,235$ . Сравнение двух волнограмм позволяет оценить на заданном интервале времени среднюю скорость  $V_s$  солитона и фазовую скорость  $c$  колебаний в тылу бора. Значения этих скоростей равны 1,39 и 1,005 соответственно. С использованием этих значений нетрудно определить среднюю скорость расширения области, по которой распространяется ВВБ, за счет появления новых колебаний ( $V_{br} \approx 0,385$ ).

Таким образом, прямые измерения пространственно-временных характеристик ВВБ ( $a_s, L_s, V_s, \lambda, c_0, V_{br}$ ) и использование аналитических зависимостей для их расчета позволяют определить параметры слоистой мелкой воды (скорость линейных внутренних волн, дисперсию, квадратичную и кубическую нелинейности), характеризующие гидрофизический фон в модели для исследования внутренних волн большой амплитуды в шельфовых зонах океана.

**2. Расчетные соотношения для определения фоновых параметров слоистой слабодиспергирующей мелкой воды.** Для того чтобы получить расчетные соотношения для параметров гидрофизического фона  $\mu, \mu_1, \beta, c_0$ , запишем уравнение Гарднера (1)

в физическом пространстве, выполнив следующую замену переменных:

$$x' = \frac{x - c_0 t}{\sqrt{\beta}}, \quad t' = \frac{c_0 t}{\sqrt{\beta}}, \quad \zeta' = \mu \left(1 - \frac{\mu}{2\mu_1}\right) \zeta, \quad \zeta'_0 = \mu \left(1 - \frac{\mu}{2\mu_1}\right) \zeta_0.$$

В новых переменных уравнение Гарднера (1) принимает вид [5]

$$\frac{\partial \zeta}{\partial t} + (c_0 + \mu \zeta - \mu_1 \zeta^2) \frac{\partial \zeta}{\partial x} + \beta \frac{\partial^3 \zeta}{\partial x^3} = 0, \quad (17)$$

где  $\zeta$  — смещение изопикны, расположенной в невозмущенном состоянии на глубине, соответствующей максимальному значению частоты плавучести;  $c_0$  — скорость распространения линейных внутренних волн. Уравнение (17) имеет стационарные решения в форме уединенных внутренних волн (УВВ) [9]. Укажем некоторые свойства УВВ. В случае слоистой мелкой воды постоянной глубины коэффициенты уравнения (17) являются постоянными и определяются неизменной по времени и горизонтальным координатам стратификацией жидкости по плотности. В рамках предлагаемой методики будем полагать, что значение коэффициента кубической нелинейности  $\mu_1$  является отрицательным, значения квадратичной нелинейности  $\mu$  и дисперсии  $\beta$  — положительными. В этом случае солитонное решение в виде УВВ возвышения записывается следующим образом:

$$\zeta(x, t) = \frac{d}{1 + b \operatorname{ch} [(x - x_0)/L_s]}, \quad t = t_0. \quad (18)$$

Здесь  $b = \sqrt{1 - (\mu_1/\mu)d}$ ,  $d = 24(\beta/\mu)/L_s^2$  — параметры, зависящие от произвольного параметра  $L_s$ , характеризующего эффективную ширину УВВ. Другим свободным параметром является фаза УВВ, т. е. ее положение в момент регистрации. Далее при выводе необходимых соотношений фаза полагается равной нулю.

Рассмотрим характеристики солитонного решения (18), которое можно получить путем прямых измерений, и связь этих характеристик с параметрами гидрофизического фона. К этим характеристикам относятся характеристики лидирующей УВВ: амплитуда  $a_s$ , первый момент  $M_1$ , или “масса”, ее пространственный масштаб, или эффективная ширина  $L_s$ , а также скорость распространения в покоящейся воде  $V_s$  и скорость распространения УВВ в сопутствующей системе координат  $V_{br}$ , движущейся со скоростью линейной волны  $c_l$ . Указанные характеристики связаны с параметрами гидрофизического фона аналитическими выражениями (15), (16). К доступным для измерений характеристикам относятся также длина  $\lambda_w$  малоамплитудных волн, замыкающих ВВБ. Учитывая равенство  $\lambda_w$  и  $L_s$ , предпочтительнее проводить оценку  $L_s$  путем прямого измерения длины волны.

Характерной особенностью солитонных решений (15) является существование решений, ограниченных по амплитуде и не ограниченных по ширине (длительности), так называемых столообразных УВВ, амплитуда которых равна  $a_*$ . Заметим, что данная характеристика УВВ является критическим параметром в теории ВВБ. Численная оценка характеристики имеет большое значение, например, при анализе влияния НВВ на различные гидрофизические процессы на шельфе.

В работе [19] предложен алгоритм для определения амплитуды  $a_*$  по данным натуральных измерений характеристик лишь солитонного решения (15). Уточним этот алгоритм, используя равенство  $L_s = \lambda_w$ . Введем переменную  $\tau$  согласно выражению  $\tau^2 = (1-b)/(1+b)$  и константу  $q = M_1/(2a_s L_s)$ . В новых обозначениях выражение для  $M_1$  преобразуем к виду

$$\tau = \operatorname{th}(q\tau). \quad (19)$$

Соотношение (19) при заданном значении  $q$  представляет собой трансцендентное уравнение для определения переменной  $\tau$ . Определив корень этого уравнения  $\tau = \tau_*$ , можно

Таблица 2

Значения параметров гидрофизического фона

Способ получения характеристик	$\mu$	$\mu_1$	$\beta, 10^{-3}$	$c_0$
Прямое измерение	1,00	0,40	6,00	1,00
Расчет по формулам (21)–(23)	1,07	0,45	6,09	1,01

определить параметр  $b_* = (1 - \tau_*^2)/(1 + \tau_*^2)$  и с учетом соотношения  $a_s/a_* = 1 - b_*$  получить выражение для расчета предельного значения амплитуды солитонов Гарднера

$$a_* = a_s(1 + \tau_*^{-2})/2. \quad (20)$$

Таким образом, рассчитав константу  $q$  по данным прямых измерений амплитуды  $a_s$  лидирующей солитоноподобной пульсации, ее первого момента  $M_1$ , длины волны  $\lambda_w$ , замыкающей ВВБ, и решив уравнение (19), находим его корень  $\tau_*$ . Далее, используя соотношение (20), для предельной амплитуды солитонов Гарднера получаем значение  $a_*$ .

Схема определения параметров, описывающих фон слоистой, слабодиспергирующей мелкой воды ( $\mu, \mu_1, \beta, c_l$ ), следующая. Полагая, что предельная амплитуда солитонов Гарднера  $a_*$  определена, измеряем скорость  $V_s$  и амплитуду  $a_s$ . Тогда с учетом (16) для коэффициента  $\mu$  получаем

$$\mu = 3(V_{br}/a_s)(1 - a_s/a_*)^{-1}. \quad (21)$$

Отсюда находим выражение для расчета параметра кубической нелинейности

$$\mu_1 = \mu/(2a_*). \quad (22)$$

Для определения параметра дисперсии вновь используем соотношение (16), которое определяет зависимость  $\beta$  от измеряемых параметров: скорости расширения ВВБ  $V_{br} = V_s - c_l$  и длины волны в тылу бора  $\lambda_w$ . В результате получаем

$$\beta = (V_s - c_0)\lambda_w^2/4. \quad (23)$$

Таким образом, с использованием результатов численного моделирования распада скачка единичной амплитуды в среде с фоновыми параметрами  $\mu = 1,00, \mu_1 = 0,40, \alpha = \mu/\mu_1, \beta = 6,00 \cdot 10^{-3}, c_0 = 1,00$  выполнена проверка полученных соотношений (21)–(23). Результаты моделирования представлены на рисунке и в табл. 2, в которой для каждого фонового параметра указаны его фоновое значение и значение, рассчитанное по формулам (21)–(23). Результаты сравнения значений параметров показывают, что относительная погрешность не превышает 10 % и достаточна для оценки влияния НВВ на гидрофизические процессы в шельфовой зоне океана.

**Заключение.** В работе представлена оригинальная методика определения фоновых параметров слоистой, слабодиспергирующей мелкой воды, основанная на данных прямых измерений пространственно-временных характеристик внутренних волновых боров.

В рамках теории волновых боров Кортвега — де Фриза для уравнения Гарднера показано существование у солитонов этого уравнения предельной амплитуды, получено трансцендентное уравнение для определения этого параметра, предложен алгоритм его оценки по данным измерений характеристик ВВБ. Также установлено, что параметры квадратичной и кубической нелинейностей линейно зависят от скорости расширения волновой зоны бора, параметр высокочастотной дисперсии пропорционален квадрату длины волны, замыкающей ВВБ, а ее фазовая скорость равна разности скорости лидирующего солитона и скорости расширения ВВБ.

Предложенная методика определения значений параметров гидрофизического фона в модели мелкой слабодиспергирующей слоистой воды по данным прямых измерений характеристик нелинейных внутренних волн во многих отношениях (финансовом, техническом, методическом) является менее затратной по сравнению с традиционной методикой определения этих параметров в морских условиях. Экспресс-оценка возможных значений фоновых параметров по предложенной схеме может быть использована при исследовании геофизических процессов в шельфовой зоне океана. Поэтому предполагается продолжить развитие данной методики.

#### ЛИТЕРАТУРА

1. **Jackson Ch. R.** An atlas of internal solitary-like waves and their properties. Alexandria: Global Ocean Associates, 2004. [Electron resource]. Режим доступа: [https://www.internal\\_wave\\_atlas.com](https://www.internal_wave_atlas.com).
2. **Helfrich K. R., Melville W. K.** Long nonlinear internal waves // *Annual Rev. Fluid Mech.* 2006. V. 38. P. 395–425.
3. **Grimshaw R., Helfrich K., Scotti A.** Large amplitude internal waves in the coastal ocean // *Nonlinear Process. Geophys.* 2011. V. 18. P. 653–665.
4. **Apel J. R., Ostrovsky L. A., Stepanyants Y. A., Lynch J. F.** Internal solitons in the ocean and their effect on underwater sound // *J. Acoust. Soc. Amer.* 2007. V. 121, N 2. P. 695–722.
5. **Wang B., Bogucki D., Redekopp L.** Internal solitary waves in a structured thermocline with implications for resuspension and the formation of thin particle laden layers // *J. Geophys. Res.* 2001. V. 106, N C5. P. 9565–9585.
6. **Уизем Д.** Линейные и нелинейные волны. М.: Мир, 1977.
7. **Миропольский Ю. З.** Динамика внутренних гравитационных волн в океане. Л.: Гидрометеоиздат, 1981.
8. **Smyth N. F., Holloway P. E.** Hydraulic jump and undular bore formation on a shelf break // *J. Phys. Ocean.* 1988. V. 18, N 7. P. 947–962.
9. **Grimshaw R.** Environmental stratified flows. Boston: Kluwer, 2001.
10. **Novotryasov V. V., Stepanov D. V., Yaroshchuk I. O.** Observations of internal undular bores on the Japan/East Sea shelf-coastal region // *Ocean Dynamics.* 2016. V. 66, iss. 1. P. 19–25.
11. **Ляпидевский В. Ю., Новотрясов В. В., Храпченков Ф. Ф., Яроцук И. О.** Внутренний волновой бор в шельфовой зоне моря // *ПМТФ.* 2017. Т. 58, № 5. С. 60–71.
12. **Гуревич А. В., Питаевский Л. В.** Нестационарная структура бесстолкновительной ударной волны // *Журн. эксперим. и теорет. физики.* 1973. Т. 65. С. 590–604.
13. **Гуревич А. В., Крылов А. Л., Эль Г. А.** Нелинейные модулированные волны в дисперсионной гидродинамике // *Журн. эксперим. и теорет. физики.* 1990. Т. 98. С. 1605–1626.
14. **Гуревич А. В., Крылов А. Л., Мазур Н. Г., Эль Г. А.** Эволюция локализованных возмущений в гидродинамике Кортевега — де Вриза // *Докл. сов. физики.* 1992. Т. 37. С. 198–201.
15. **Kamchatnov A. M., Kuo Y.-H., Liu T.-C., et al.** Undular bore theory for the Gardner equation // *Phys. Rev. E.* 2012. V. 86, iss. 3. 036605.
16. **Apel J. R.** A new analytical model for internal solitons in the ocean // *J. Phys. Ocean.* 2003. V. 33. P. 2247–2269.
17. **Vassilev V. M., Djondjorov P. A., Hadzhilazova M. Ts., Mladenov I. M.** Explicit parametrization on Willmore surfaces // *AIP Conf. Proc.* 2011. V. 1404, N 86. P. 201–206.

18. **Захаров В. Е.** Теория солитонов / В. Е. Захаров, С. В. Манаков, С. П. Новиков, Л. П. Питаевский. М.: Наука, 1980.
19. **Новотрясов В. В., Пермяков М. С.** Экспериментально-теоретическое определение предельной амплитуды и минимальной длительности уединенных волн в слабодиспергирующем мелком море // ПМТФ. 2019. Т. 60, № 3. С. 67–72.

*Поступила в редакцию 29/IX 2020 г.,  
после доработки — 29/IX 2020 г.  
Принята к публикации 26/X 2020 г.*

---